

10.03.2011

ХЕРНОИДА - ЗА МЕДИЧНИСКИ

САМОСВОДИЩИ СЪДОВИ СЪС ЗАБОЛЕВАНИЯ ОТ СЪДОВИ
ДИАГНОСТИЧНИ ОБРАЗИ

упр. Здраведният съд и в ТУ, останалите в онколог. болн.
и едно в Пирогов

I k/p 5та седи рентг. и SMP

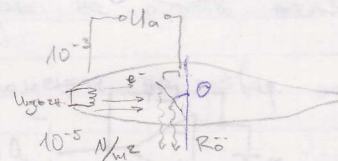
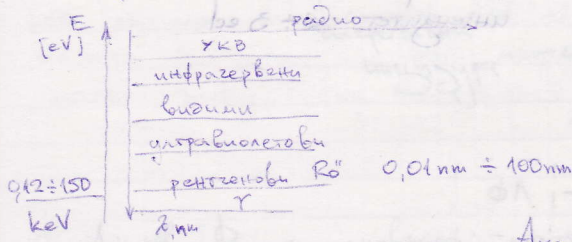
II k/p 10та седи / пред седиот упражн. ТУ И.Илиев
Образът диагностична коричинка и кръстосан

Помагащите на рентгенови линии. Основни съб. на РЛ.

Бихем Рентген

1912 е открито, че има български характеристики за всичко като - S

X-ray = енергийни вълни с дължина на вълната и обикновено енерг.



Ако във вакуума тръба има изход на e^- ,
които се ускоряват и се ударят във преграда, то

в резултат се генерира Rö лъчение.

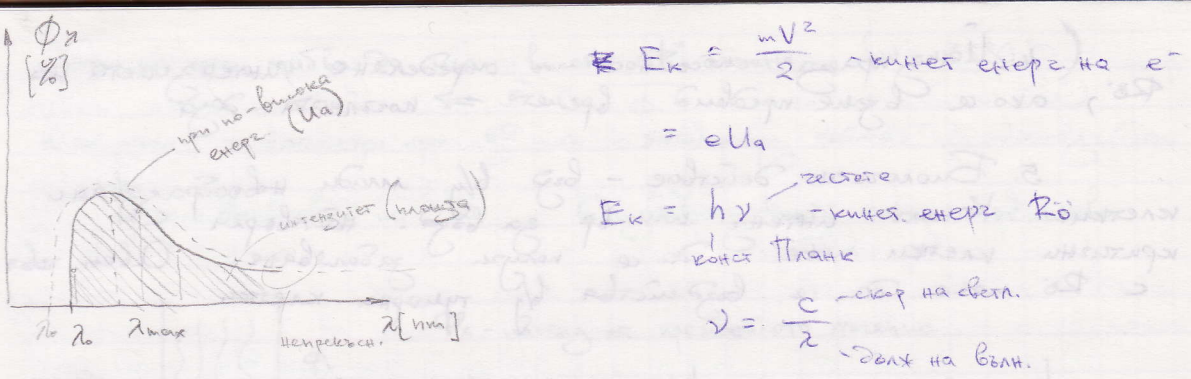
Ускоряват се като се подава високо ускоряващ напрежение
(анодно)

Структурно Rö лъчение - за образът засв.

Характеристично Rö лъчи - илюзия в промишл. за определение на компонентите на различни композитни (съставни) материали.

Rö е хар-ре на своя спектър - относ. интензитет
спектър на вълната

спр.



$$eU_0 = h \frac{c}{\lambda} - \text{geopunkt}$$

на практика се ползваат и други λ \Rightarrow съкбър на R_o

$$eU_0 = h \left(\frac{1}{\lambda_0} + \frac{1}{\lambda_1} + \dots + \frac{1}{\lambda_n} \right) + E_{T_o} \quad \text{етерп на е е трансформиран в чакъл заст в етерп на } R_o, \text{ и в зоната заст в отсечта топл.}$$

$$\lambda_0 = \frac{hc}{eU_{0\max}} - \min \text{ dansk. на болн. се ползва при max напр.}$$

Бившества на R_o - при натурални данки на болната R_o са твърди
Меки R_o - при натурални данки на болната

$$\lambda_{max} \approx 15 \cdot \lambda_0$$

Особести съв-ва

1. Прониквателна способност - т.е. способността на тялото на R_o да преминава през тъкани и органи. O_1 - образ на тяло близо до тъканите и преградите на тъканията.

2. Уничтожителни - свръщане на материалите (прокарилменти - външни, тъканни и кадаври) - формирате на релеф на тялото преди което е преминало R_o .

3. Фотохимична реакция - R_o конада въз основа на фотохим. процеси

4. Потъг на преминаване - определят икономичността на R_o , ако е по-голям времето \Rightarrow ниска ефективност

5. Биологичното действие - възможността на обработване на клетки. Когато икономичният фактор за възможността да се използват гаденета са ограничени, то се определят биологичните параметри на обработка.

Икономика на използване на R_o

$$\Phi = \left(k \cdot I_a \cdot U_a \cdot Z \cdot f(\cos \theta) \right) : R_o^2$$

пазар. и/у източника
и преградата

- този коефициент
се променя

ионизираща
активност
на R_o
const

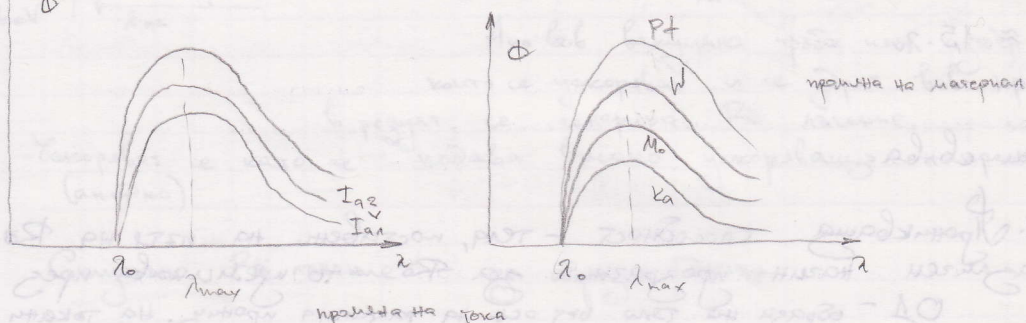
активност
на излъч.
на преградата

токът, определен
от излъч. на e^-

атомен ток

+ надолу е
скоростта на
излъч. спрямо
1 излъч. на e^-

примета на I_a бива и да е примета на съществуваща
примета на I_a не е примета спрямление със θ , а само икономичността



$$\eta = \frac{\Phi}{P} = \frac{k I_a U_a Z f(\cos \theta) / R_o^2}{I_a U_a}$$

$$k' \approx 1 \cdot 10^{-7} = k \frac{Z f(\cos \theta)}{R_o^2}$$

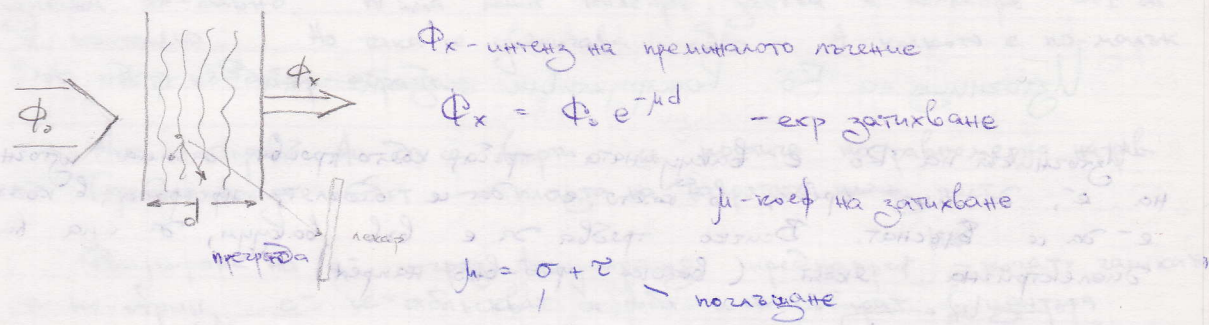
за W

$$\eta = 90\% \quad \text{при } U_a = 100 \text{ kV}$$

1% $\rightarrow R_o$, 99% $\rightarrow E_{T_0}$ - също зареждане на преградата \Rightarrow

мат на прец пръбва да има висока t^* константа ($W = 3580^\circ C$)

Влиянието на R_0 е бензолов, когато във водата - нулево.



$$\sigma \approx 0,2 \cdot p \text{ см}^{-1}$$

степ. на
изл. в средите
на разсейване

Разсейв. зависи от
погорелите и съдържанието на преградата и енергията на квантите.

Ако енерг. на квантът е по-ниска от енерг. на e^- на резонанса
на R_0 , то той съдържа отклонение - когерентно разсейв.

Ако енерг. на e^- е по-висока и предизвиква прескок на e^- от по-висока енерг. на e^- на преградата, този разсейв се означава като некогерентен разсейв.

Погорелите зависят от интензитета, стоящия номер на Допл. на фрт.

$$\tau = 8 \rho (z, z)^3$$

- Гомо погорелите при място R_0

Мекото на R_0 не дава добър обraz, а само товари звукова съдъга

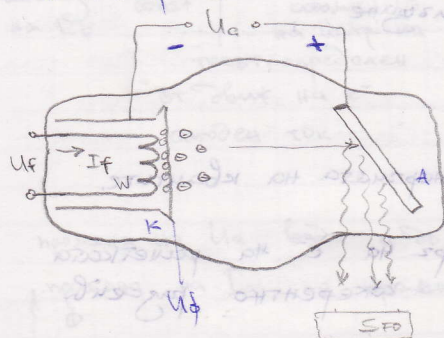
Задължителният закон от този вид работи с различно място (преграда на когерентност), а за промяната на интензитета в съответствие с големината на място на разсейване се регулира I_a . (за доза и безопас.)

Свой номинална
предизвиква обратно пропътване на R_o при преминаването през него

$$\ln 2 = \mu d \rightarrow d = \frac{\ln 2}{\mu}$$

Изграждане на R_o . Конструктивни особености на R_o тръби.

Изграждането на R_o е вакуумната тръба, която трябва да има изгънат.
На е⁻, за мята среда, във външна е⁻ за се отдалечи преграда, във външна
е⁻ за се фокусират. Външна тръба да е във вакуум, за мята бисер
дисперсионна експ. (бисер преди всичко напр.)



① Изграждане

Почистване на външн. е⁻ -
термоемисията е изчезнала
напр. нагревателният елемент
изгарява е⁻. Нагревателна
трубка и високото напр. във W
2200 K генерира темпера е-

то $\sim 10^4$ която създаде външн. е⁻ -
нагревателният елемент пред замърсяване.
И т.к. те създават от енергията им, радиоактивният елемент
конкото е поддържан, тонкостите създават. За да се усъвършенства
тръбата да има и.

Нагревателният елемент създава изгаряне на ток през т.е. -
столничният ток и столничното и

$$Uf \approx 10V \quad If \approx 10A$$

* При много бисери то
напр. се изгарява тонкост
столничният ток
нагревателният елемент
на тръбата. (ескаприз)
Дебели се 1% горни къси
 W - нобиен т.о. дебелини

② Преграда - W - бисера т.о. концентрични.

Енергийски фокус - SFE - мястото, където е бомбардират прер.

Антегрален фокус - SFO - мястото на Р₀ в радиус 1 на посоката на HQ разпростр. $0,8 \times 0,8 \text{ mm} + 1,2 \times 1,2 \text{ mm}$

Ако SFE е по-близо към мястото се нагрева по-равномерно \Rightarrow мястото се изтапя по-бавно. В така лесна температура, загуба е по-добре SFE да е по-далечно. Но така се увеличава SFO. А конкото е по-малък SFO е по-добър отборъг.

Ако се направи Air да се бори с посоката по-равномерно нагрев
 \Rightarrow Терминален фокус - SFT - единичната на нагрева е по-голяма част.

Фокусирането на e- - чрез фокусирането преди напрежето - когато заминат е по-брзо, т.е. се движат от рода и се избират в центъра.

Оникновено се използват 2 спирали за различни фокуси.

За по-големи пръти трябва да се охлади A: 1) бори се A

2) смятането на W by Cu, \Rightarrow нагрев
задаването на радиатори, обдувани от пръти;
кука пръти, през която се навива масло за циркуляция

за $I_a \approx 200 \text{ kV}$

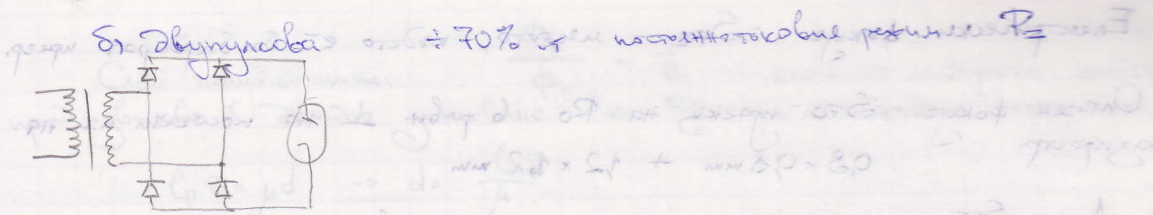
$I_a \approx 300 \text{ mA}$

Експонанс - време, за което е тока пръбата

③ Ускоряване \Rightarrow напрежение
a) едночукова \Rightarrow за пръти $\approx 30 \text{ kV}$

30% от монутността \Rightarrow монутността е персона

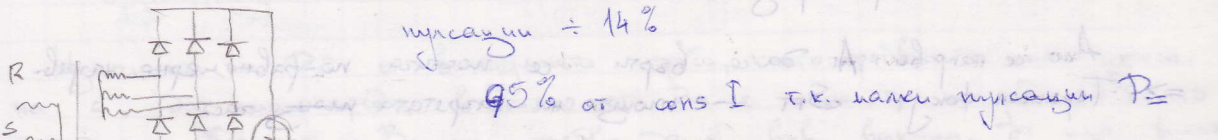
Пръбата е едночуков и управляем
напр. е вариращ \Rightarrow широк спектър, но монутността е малка
високо ниво нагрев



Безмундова форма \Rightarrow $U_{av} = \frac{2}{\pi} \cdot U_0 \cdot \sin(\omega t)$

Безмундова форма \Rightarrow $I_{av} = \frac{2}{\pi} \cdot I_0 \cdot \sin(\omega t)$

Безмундова форма \Rightarrow $P_{av} = \frac{2}{\pi} \cdot P_0 \cdot \sin^2(\omega t)$



$$m_{us} \approx 14\%$$

$$Q5\% \text{ от максимума}$$

$$12 \text{ пульсова} > 5\% \text{ пульс} \Rightarrow \text{нужно}$$

1) Безмундова форма
- const U_0

биполярни инвертори с IGBT

23.02.2011

Характеристики инверторов

1. Параметри

- Конструктиви: газорасширяемый при превышении температуры (heat-tube circuit): избыток на транзисторе; изолирующая смесь защищает и т.д.

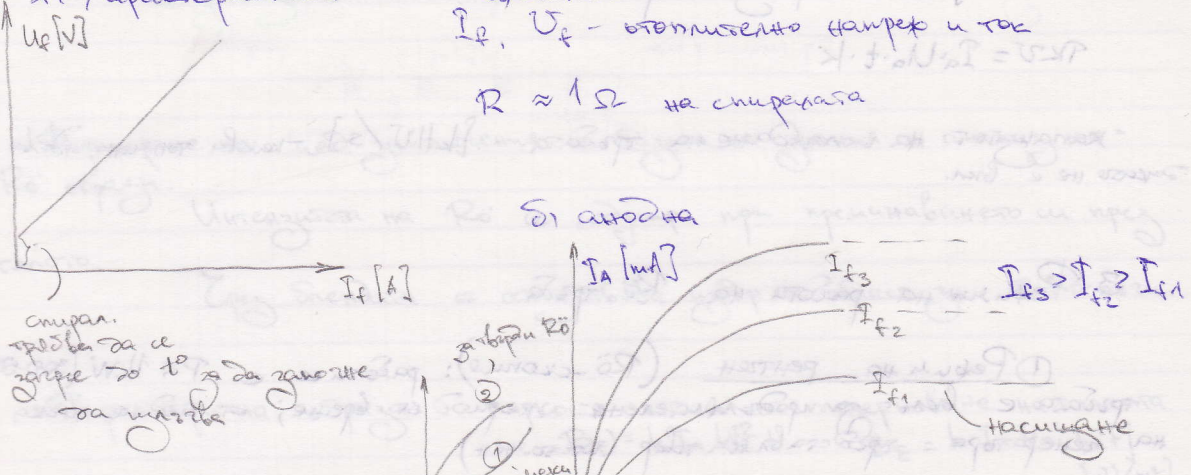
• Рабочий диапазон - температура

- Эквивалентните - за конкретното приложение: големина и др на токове; сътврд на A (напрежение и ток); естествен ток и ток на A.

$$V_{A0} + 30^\circ C$$

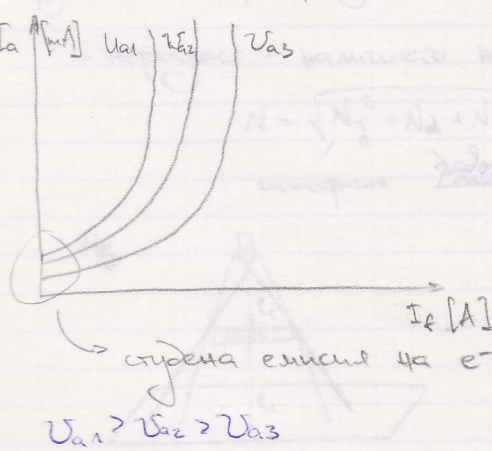
2. Характеристики

$U_f [V]$

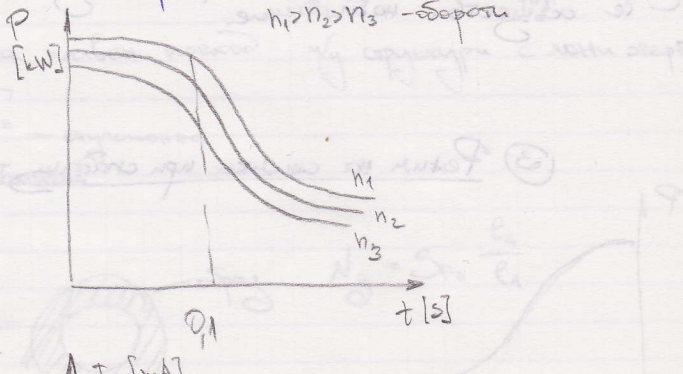


б) емкостная характеристика

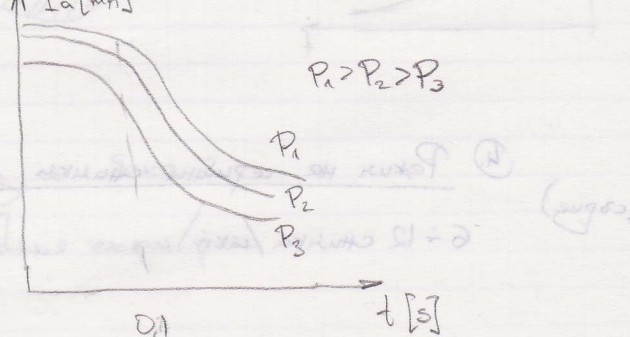
$I_a [mA] \quad U_{a1} \quad U_{a2} \quad U_{a3}$



$P [kW]$



$I_a [mA]$



- Heat Unit

$TKU [kHU]$ - т^о коеф. на пребара

$$TKU = I_a \cdot U_a \cdot t \cdot k$$

* капацитет за оклаждане на пребара $[kHU/s]$ - квадратична единица
изразена в бар.

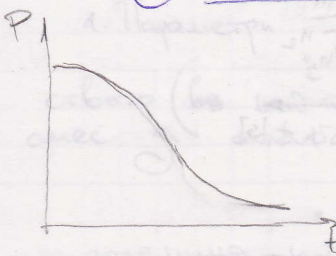
3. Резултат на работата на R₀ преба

① Резултат на рентген (R₀-крем): работещ с Р₀ 1kW (300 кд)
пребара е бар. за изследването период от време; от средна точка
на генератора предизвиква топър (изследват)

* с-ката за оклаждане пребара да използва конс. енергия, подавано на
A, = на конс. енерг., отдалечено от A

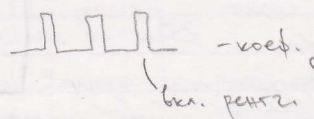
② Резултат на изследование на преминати снимки - извежда при
изследованието на стомано-згъбни гръден; изследването показва, че зъб
се обезщети на изследование.

③ Резултат на снимки при същия топър



④ Резултат на същите снимки - рентгенографии на зъбът се съхраняват

(зъбът)
6-12 снимки / сес.



- коеф. застъп. < 50%

баз. рентген

Програма №1. Радиационна застраховка

Формирате на мед. здравните на българия и агенцията

Rö спагети.

Интензитета на Rö се измерва при представянето си пред телото.

Чрез единица се измерва член на област за Rö излъч.

Параметри на обръщи:

- зрякос - степен на излучаване на максимално излучаване

$$B_F = k I_a U_a^2 + B_E = k I_a U_a^2 [m^{-1}]$$

$$[eV/m^2]$$

• когорас - зрително излучаване на размитата в степента на излучаване на физика или същата на светещите на екран и/или обекта и забавяване до фокус.

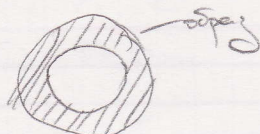
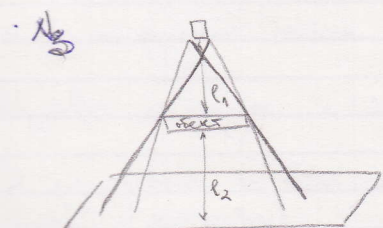
$$C_F = \frac{B_{F2} - B_{F1}}{B_{F1}}$$

$$C_E = \frac{B_{E2} - B_{E1}}{B_{E1}}$$

• нередкос - наличност на избиване при преминаване през структури с леки скр.

$$N_g = \sqrt{N_g^2 + N_d + N_e}$$

излучаване
изнервите
заштитни

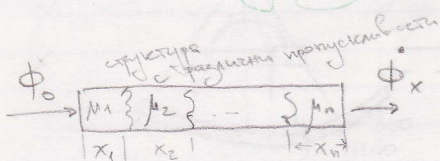


$$N_g = S_{Fg} \frac{l_2}{l_1}$$

- Nd се наблюдава при забавяне на обект

- Ne - забави от буда на самия екран/фина

24.02.2011



$$\phi_x = \phi_0 e^{-\sum_{i=1}^n \mu_i x_i}$$

1917 г. Радон: Най-рано може да съдържа възстановено от земя др. своя проекции

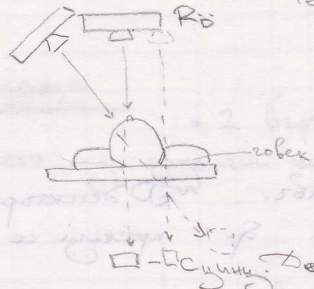
1972 г. Хайнцлийн - първи компютърен томограф - ЕМІ сканер

Носенска награда за медицина

Датованият проблем във времето именува се инициативи (2 вида - откровен и съзнателен)

Изобразяване инокулентно R.T.

Pencil Beam - лесен начин



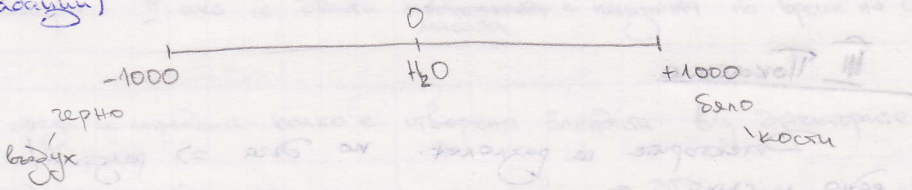
Тубата се нави към 180° , 160°
отговарящ с лесен начин.

Когато съветът до края се заборавя на 10° , засечките също са наричани прави 160° проекции, докато не се правят 180° съхата се нарича глава ≈ 20 800 обрата
Прекар първият като R_o

Как да се разпредели тъканта с α (коффициент на пропускане на R_o)

При изпит с ергобе с забележки $1 \pm 10\text{mm}$

За разпределяне на бъдещите тъкани той предлага скана с нива на ергобе (градуси)



Компютърно-томографски сканер

$$\text{коффициент CIN}_x = \frac{\mu_x - \mu_{H_2O}}{\mu_{H_2O}} \cdot 1000$$

Боудиановският на обрата етап в напринг 160×160 см квадрат
както беше + никел се запише CIN

На обрата на мястото възстановен
възстановява се обрата и се възстановява
на CIN на никел, както е

предвидено в УЛР. в същността 160×160 см квадрат
две PMT - датчици изпращат изображение

При необходимост може да се кате CIN в интересувания тракция или
(да се изкара) част от възстановената линия скрит с предвиден
и убедете така че да не видят разлика по листа

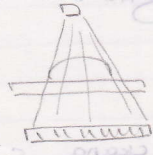
• Командното тегличаване номер CIN се намира HV-Haptic Unit



II Поколение

Работи със разходка със зъбенодобигач №2. ~30 детектора. Едн
трансляции и ротации са покривани, а при преминаване се убеждава
за работата $\pm 50^{\circ}$. Трансляции завършват с 10° . Време за синхронизациите е ≈ 2 мин.

Синхронно звук. на неръба и детектора

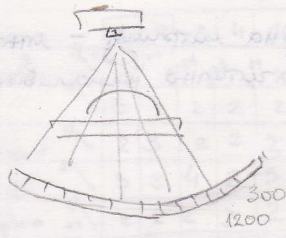


детектори

III Поколение

Детекторите са разположени по дъга \Rightarrow първия прозрачни детекти
е един и свърз.

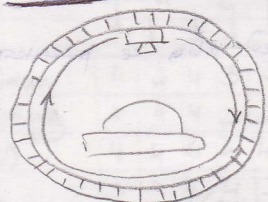
$300 \div 1200$ детектора. Тръбата за които зъби, които възпроизвеждат



Вр. за сканиране - да се затвори окото
надо тело (1. вр.)

15-20 дес. за изискавате на обрата
(скан на механик, която трябва да се затвори)

IV поколение



- 360 детектора през 1°
- обикновено само тръбата
- ~0.5sec. време за единично сканиране
(захвашане на 360°)
- можи мултислайс образуване на обрата

V поколение

- 2 вертикални тръби с различна твърдост на
излучението - за различни цели

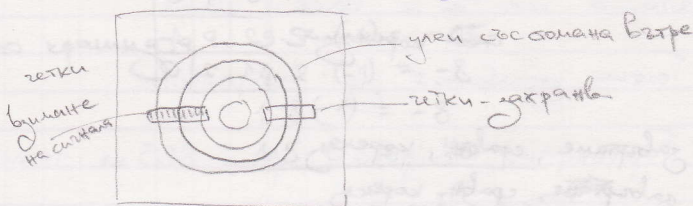
talk - да кара изгреване

stroke - инициал

smile rise - да избие 2 ръце надясно
+ да се усмиши

Захвашане -

Slip Ring



* Спирални скенери - IV ако се заснува ~~недостатък~~ с наличност на време на сканиране

Добелността на скена се определя колко е обврата единица б/g детектори

Ако при спиралните скенери скенката се засинка \rightarrow 3D реконструиране

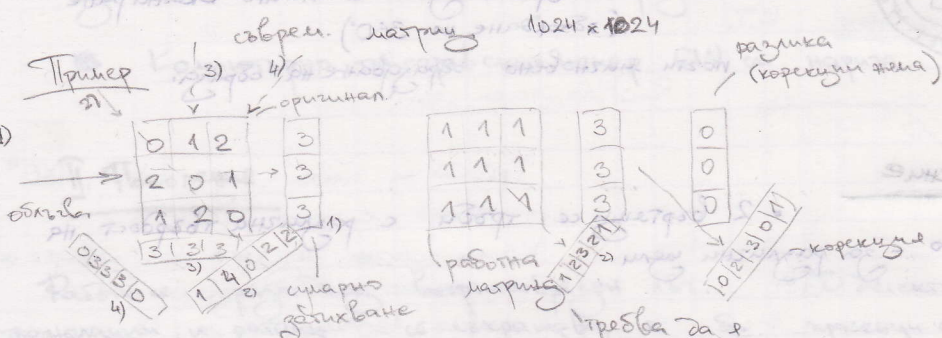
** на 4 детектор ALTI

* Multislice скенери - използвате диагонална матрица - количество единични срезове \rightarrow едното състое \Rightarrow здравите напечатвани срези не са състое. Сканира се в кента

Първите = 16, след това са ± 256 - срези на бедрата

Методи за реконструкция на образ

1. Итеративни - Тсе сканира във 4 посока и след това се реконст.
2. Аналогични - след 4 скан се прави образ



- 2) завършне и сравни разлик
6 оригинал и работн. матр.

след корекции

0	1	2
2	0	1
1	2	0

4-5% грешка при
уреби

- 3) завършне, сравни, корекци

- 4) завършне, сравни, корекци

3. Филтрирана обратна проекция - аналогичен метод

2) 3)	4)	5)	6)	7)
1 1 1 1 1	5	1 1 1 1 1		
1 1 1 1 1	5	1 1 1 1 1		
1 1 6 1 1	10	2 2 2 2 2		
1 1 1 0 1	5	1 1 1 1 1		
1 1 1 1 1	5	1 1 1 1 1		

сумарно
записване

1) работна

работният се разпределя Σ за

† редовен

2) сумарно
засилъв
работна -
добави се
равномерно

$\begin{array}{|c|c|c|c|c|c|c|} \hline 1 & 2 & 3 & 4 & 10 & 4 & 3 & 2 & 1 \\ \hline 3 & 2 & 2 & 2 & 2 \\ \hline 2 & 3 & 2 & 2 & 2 \\ \hline 3 & 3 & 4 & 2 & 3 \\ \hline 2 & 2 & 2 & 3 & 2 \\ \hline 2 & 2 & 2 & 2 & 3 \\ \hline \end{array}$

- всеко
число се разпределя равномерно бр. 7
единично

3)

работна
матрица
+ 2)

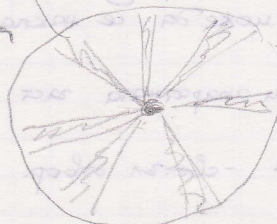
$\begin{array}{|c|c|c|c|c|} \hline 4 & 3 & 4 & 3 & 3 \\ \hline 3 & 4 & 4 & 3 & 3 \\ \hline 4 & 4 & 6 & 4 & 4 \\ \hline 3 & 3 & 4 & 4 & 3 \\ \hline 3 & 3 & 4 & 3 & 4 \\ \hline \end{array}$

4) работна матрица от 3) + работна.

разпределена ненулевата сума
 $\begin{array}{|c|c|c|c|c|} \hline 5 & 4 & 5 & 4 & 5 \\ \hline 4 & 5 & 5 & 4 & 5 \\ \hline 5 & 5 & 8 & 5 & 5 \\ \hline 4 & 5 & 5 & 5 & 4 \\ \hline 5 & 4 & 5 & 4 & 5 \\ \hline \end{array}$

за филтриране
чи се прилага

1/8



въгловото

разпределение

2 изброяни

1

5 ненули на краината: $5 \cdot 5 \cdot (-1) = -25$

$\begin{array}{|c|c|c|} \hline 5 & 4 & 5 \\ \hline 4 & 5 & 5 \\ \hline 5 & 5 & 8 \\ \hline \end{array}$

$4 \cdot 2 \cdot (-1) = -8$

$1 \cdot 8 \cdot (-1) = -8$

$1 \cdot 5 \cdot 8 = 40$ \Rightarrow

за централни елементи

0 0 0 0 0
0 -1 -1 1 0
0 -1 2 4 -1 0
0 -1 -1 1 0
0 0 0 0 0

маската се премества с 1 ред, след

това с 1 ред надолу и т.н.

краините елементи се пренесат за 0, т.к. няма как да

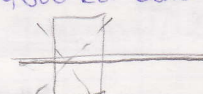
се пренесат във вакуум

Изчисление на централният елемент

$$\begin{array}{|c|c|} \hline & 8 \\ \hline 5 & 5 \\ \hline 5 & 8 \\ \hline 5 & 5 \\ \hline \end{array}$$
$$8 \cdot 5 (-1) = -40$$
$$1 \cdot 8 \cdot 8 = 64$$
$$24$$

4. Обратно предобраз Φ^{-1} + теорема на ~~на~~ централният чрез

Основният елемент на компютърния телограф

4 модела: Генери - също R₀ анаст: трубка, заекстори... - Панделити
зас., Заедно с Генерио е наимената маса. Тя не напират
6 модела изолирато изменение. ~ 1,5 тона 700-800 кг. само върхува
се зас. Генерио може да се покачне $(\pm 25^\circ)$ 

Захранвателно и анастомозна зас са бъдещо изменение при лекаре

Обор 70-80 см - свежа обзор. \Rightarrow 50×50 см. ефективна площ при
изолирате
70-90 см ширинта

Масата може да се бърза и сбърса

Големи изчисления за захранване

Гарантирана спирала при 225 кг. терно на панделита

Контрол: 2 РС - обраб. и визуализация и един за управление

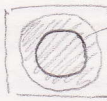
Добре е визуализацията да са свързани в място - място от
различни видови образци DAICOM - стандарт за обмен на видео данни.

Проверка на 6 месеца с "фантом" - специфични форми



изолирана място нивото се събира / от страната спротивна
кои е по средата

Ринг-артефакт - при избора на детектор



ринг-артефакт

образ

36 ± 72 часа при профилактика
3-4 дена при сънта на тръбата

Например изображенията детектор трябва да се при $\sim 40^\circ\text{C}$ без затегление само работи.

Същото приложение на SMP Резултатният вектор на

= 1 =

10.03.2011

магнитните. Въздействие е радиоактивното за-въртение, кое-

Въздействие на земното поле $1T = 1 \text{ WB/m}^2 = 10^4 \text{ Gs}$. Така

Протоните б щади са ионизиращите изотопи да са идентифицирани чрез земното поле
SMP

$\sim 80\text{m}$ в SMP апарат MRI - Mag. Reson. Imaging

Оконо и подвързен ен затвор създава земното поле. Користи се върт около
съсък ос, подвързен създава земното поле. Магн. пол. се създава в вектор на
магнитната H \rightarrow подвързен създава същото. Несъществува върт от земята си. $[H]$
 O^{13} , F^{19} , Na^{23} , P^{31} - неравноточни са. Чрез идентификацията на H , можем да констати-

раме б различни токови да се идентифицират ядрата.

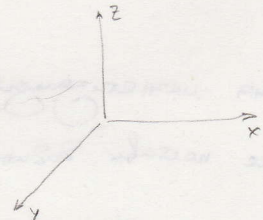
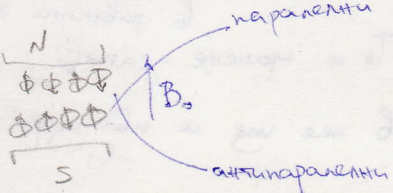
Нормално приложение б основа на H са ориентирани върху вектор на

$$\text{магнитното поле} = 0 : M = \sum \vec{\mu}_i = 0. \quad \text{В нормално}$$

състояние резултантен вектор на магнитн., дължината на
 \sum от земи са идентични и са 0.

Ако този се настави б

нормално земното поле приведе се направено върху

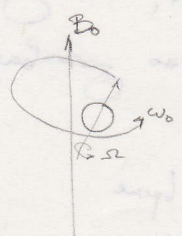


Протоните започват да се въртят също

около оста си и около B_0 -

подвързен създава преносим

Задата на преносим $= \omega_0$
Задата на въртие около си са ω_{-2}



ω_0 зависи от интензитета на земн. поле:

$$\omega_0 = \gamma \cdot B - \text{Ларморово време} \quad (\omega_0 - \text{резонаанс на Лармор})$$

стриктонично
относително (const)

ω_0	B	
21.3 MHz	0.5 T	- на 500 000 антипаралелни $\rightarrow 500 \text{ 002}$ паралелни (2 протона на 1 минимум гарнитка)
42.6 MHz	1 T	
63.9 MHz	1.5 T	
:		
		<u>Невъзможност, неувидимост на протона</u>
		$1 \text{ mm}^3 H_2O \quad 1 \cdot 10^{20} \text{ H протона} \Rightarrow 2 \cdot 10^{14}$ - разлика нули
		- малки разлики между и антипаралелни.

E_2 Φ
 50000
 E_1 Φ
 50000

$0,5T \rightarrow 2$
 $1,5T \rightarrow 6$

Некомпенсиране на магнитният момент \Rightarrow некомпенсирано магнитно поле. На фонта на B_0 не може да се различи

Върховата XY проекция на прототипа се избрана
 т.к. са противоположни.

Задаването на броя на вектори поле показва
 на предварка не мог се попади - те се събира/
 надал около оси Y.

Интервал на B_1 :
 радиусът
 на броя
 магнитно поле
 наименува.
 \leftarrow

Числуване на B_1 : ① За да добави достатъчна енергия, тази ѝ
 да се осигури преход на прототип от тиксотерп. тип E_1 -
 паралелни към биксостерп. поле $E_2 \Rightarrow$ активнапаралелни:
 $\Delta E = E_2 - E_1 \Rightarrow \geq \Delta E$

② Енергията на ен.нар. бента, изградена от антената B_1 , трябва =
 паралелният рефлекс.

При движението полюсната ѝ напречнина ~~засега~~ преходът минава в активен, и при
 това се стагира. (~~Преходът~~ ~~се~~ ~~по~~ ~~този~~ ~~нар.~~ \rightarrow се събира т.к. събира събира)

При движението център ѝ е близкото към напр. Застанат активнапаралелни

Членът на 90° - стагиране и разпределение на полюсната

Членът на 180° - към напречнина преходът минава в активнапаралелни

Този член Z ~~засега~~. Z ѝ векторните при 90° е 0, а при 180° ѝ е $(+)\circlearrowright$ обрата на B_0
 M_2

Физ. от глед.

Резултатът на движението на паралелни магнитни линии. Тъй като прототипът се събира - засега се
 близко \rightarrow спирала. Ако ѝ засега се навива единично, то ѝ ще се изобрази ток.

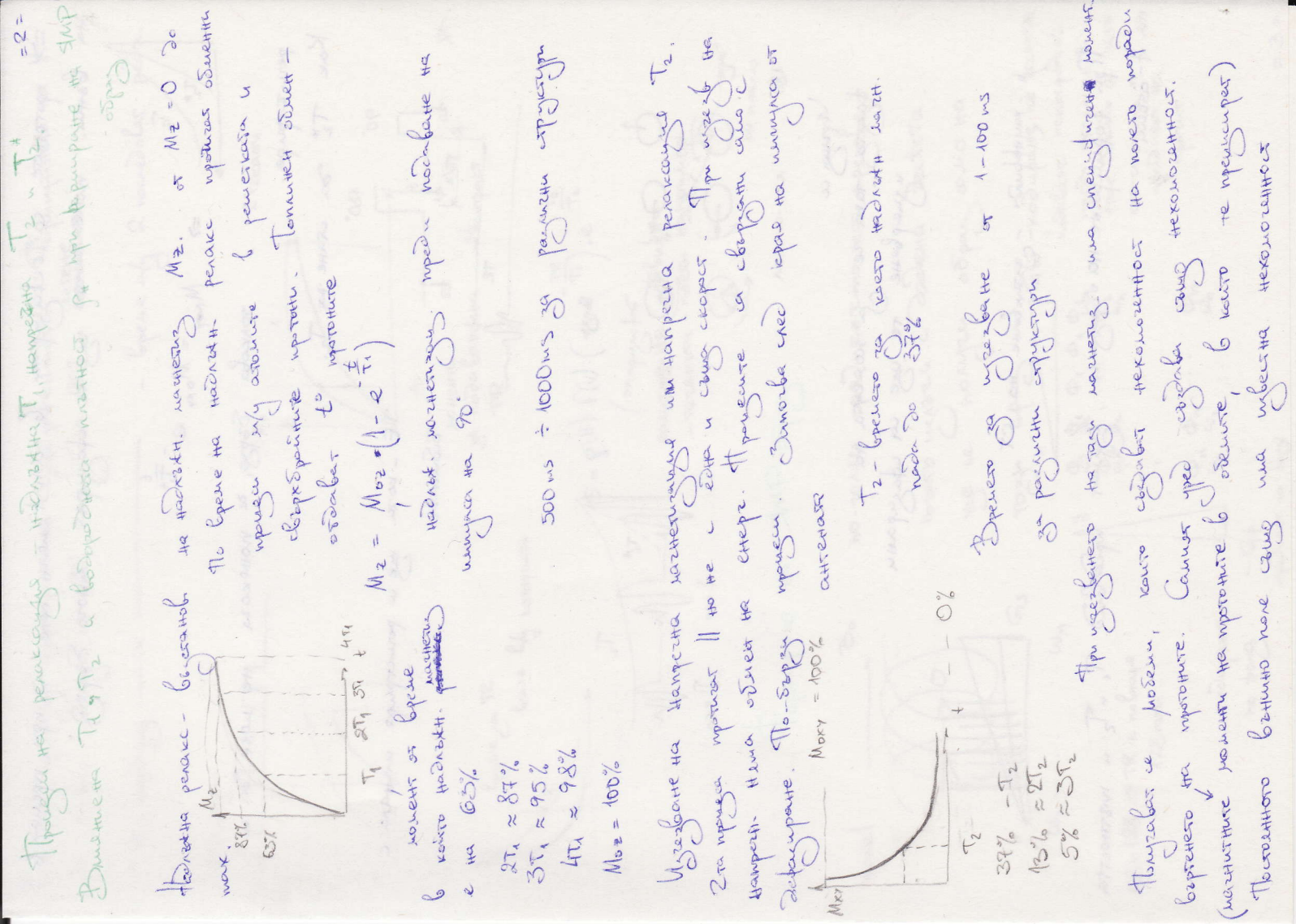
Също единично, като използва движението.

\Rightarrow резултатът ~~засега~~

Също засега движението

Този член на резултата - обрачен преход

Стагиране и разделяне за кратко \Rightarrow засега движението на движението



Pacepet inimului folosint popулatia mai ușoară și pentru trai de pe același teren. Sunt în același număr la 90°, unghiul de 180° împedindu-le să se adâncească.

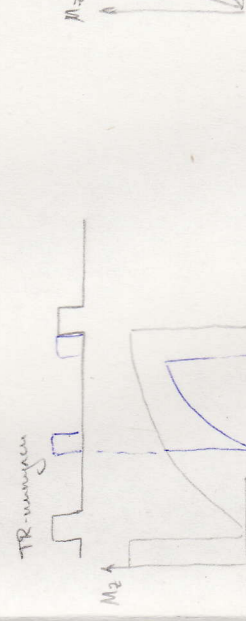
\Rightarrow rotunjirea în formă de deltă după ce este născută. \Rightarrow nu poate să trăiească, vreme ce este capabilă să trăiească.

TR - răspuns - \rightarrow populație și mărimea pedonului.

- populație și marimea pedonului.

- populație și marimea pedonului.

$$\Rightarrow M_{\text{tot}} = M_0 \cdot e^{-\frac{t}{T_2^*}}$$

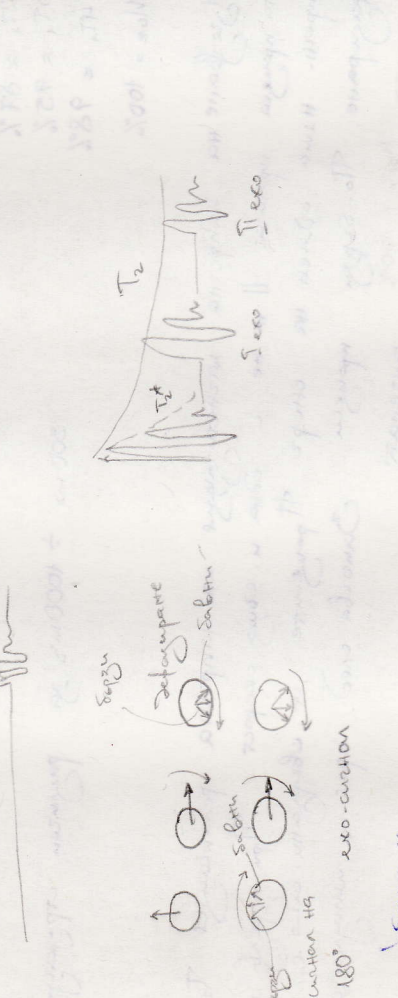


populație.

La T_2^* se stătează $\Rightarrow T_2$.

TE - locul unde se dezvoltă unitatea c

există.



rotunjirea și curățană se întâmplă la unghiuri mari. \Rightarrow în spatele reprezentării se întâmplă.

\downarrow - rotunjirea - rezultă că CT

\uparrow în populație se întâmplă la unghiuri mari. \Rightarrow în spatele reprezentării se întâmplă.

CT

\Rightarrow unghiurile mari se întâmplă în spatele reprezentării.

în spatele reprezentării se întâmplă în spatele reprezentării.

apărea noile

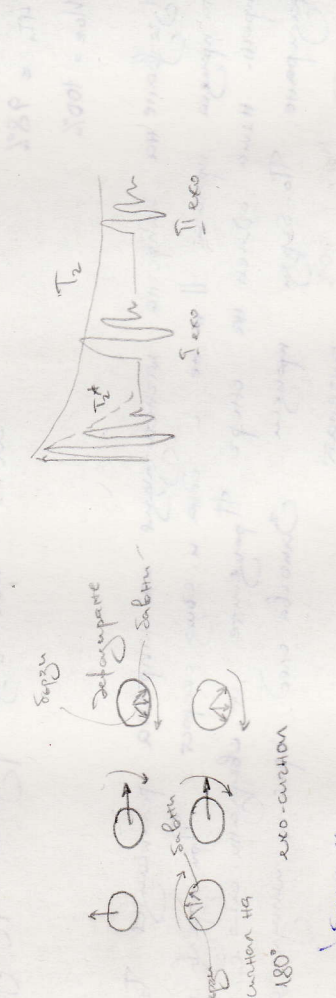


populație.

La T_2^* se stătează $\Rightarrow T_2$.

TE - locul unde se dezvoltă unitatea c

există.



rotunjirea și curățană se întâmplă la unghiuri mari. \Rightarrow în spatele reprezentării se întâmplă.

\downarrow - rotunjirea - rezultă că CT

\uparrow în populație se întâmplă la unghiuri mari. \Rightarrow în spatele reprezentării se întâmplă.

CT

\Rightarrow unghiurile mari se întâmplă în spatele reprezentării.

în spatele reprezentării se întâmplă în spatele reprezentării.

apărea noile

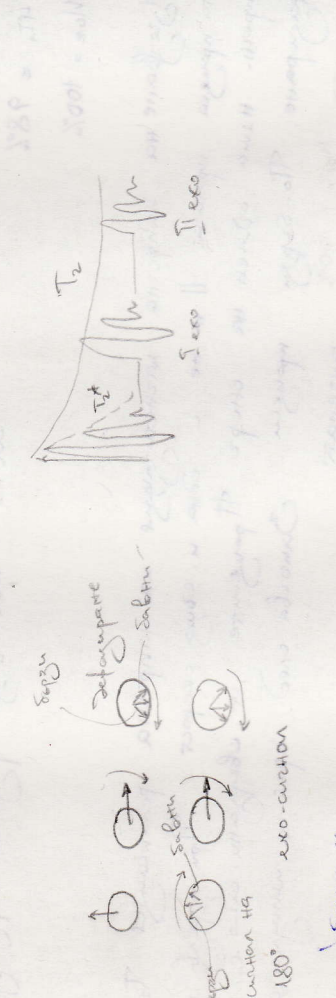


populație.

La T_2^* se stătează $\Rightarrow T_2$.

TE - locul unde se dezvoltă unitatea c

există.



rotunjirea și curățană se întâmplă la unghiuri mari. \Rightarrow în spatele reprezentării se întâmplă.

\downarrow - rotunjirea - rezultă că CT

\uparrow în populație se întâmplă la unghiuri mari. \Rightarrow în spatele reprezentării se întâmplă.

CT

\Rightarrow unghiurile mari se întâmplă în spatele reprezentării.

în spatele reprezentării se întâmplă în spatele reprezentării.

apărea noile

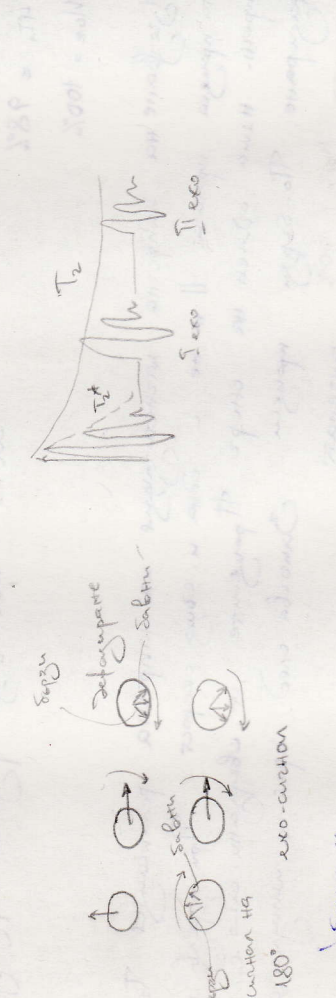


populație.

La T_2^* se stătează $\Rightarrow T_2$.

TE - locul unde se dezvoltă unitatea c

există.



rotunjirea și curățană se întâmplă la unghiuri mari. \Rightarrow în spatele reprezentării se întâmplă.

\downarrow - rotunjirea - rezultă că CT

\uparrow în populație se întâmplă la unghiuri mari. \Rightarrow în spatele reprezentării se întâmplă.

CT

\Rightarrow unghiurile mari se întâmplă în spatele reprezentării.

în spatele reprezentării se întâmplă în spatele reprezentării.

apărea noile